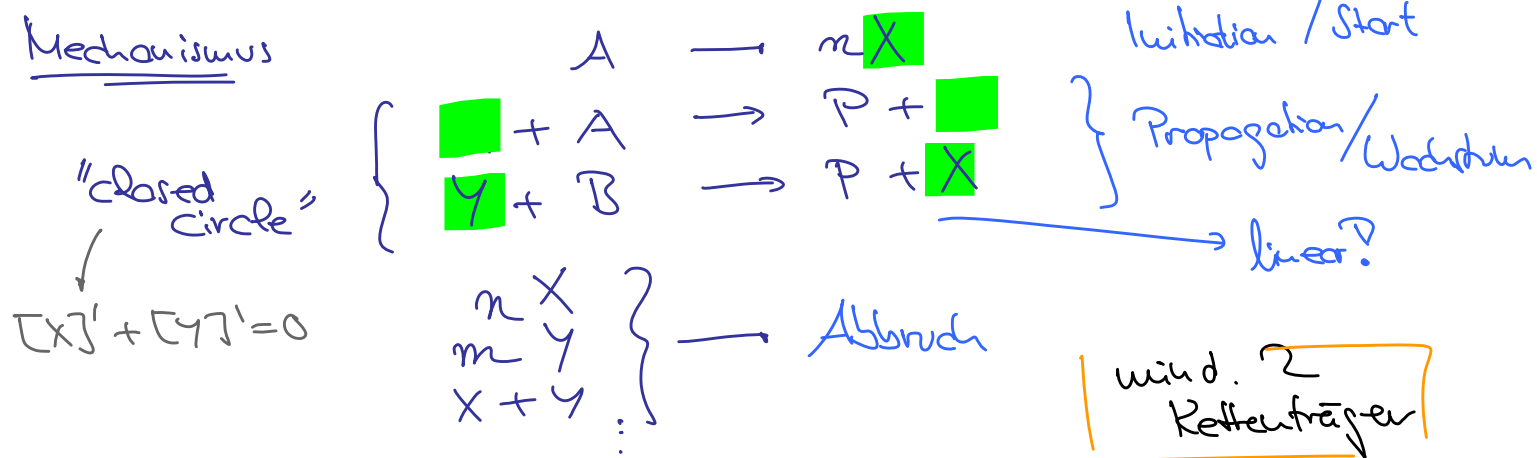


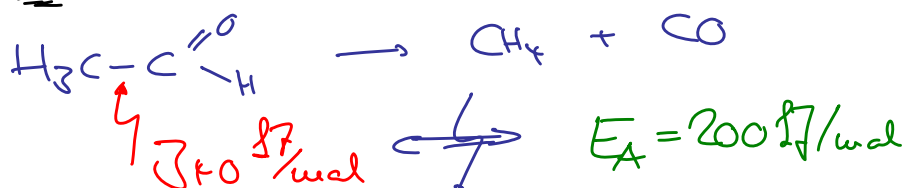
8. Kettenreaktionen

- häufig (g), (l)
- reaktive Reaktionsschritte (Radikale, Ionen ...)

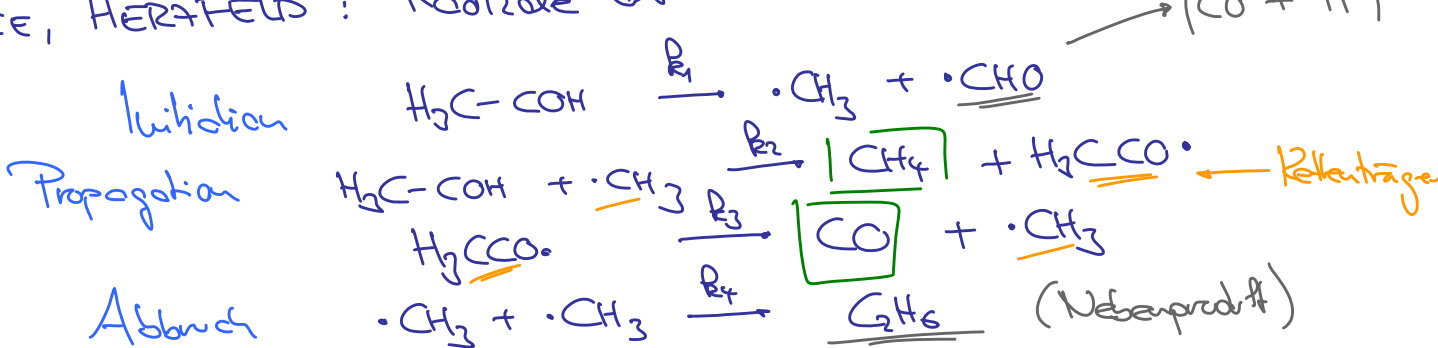
Mechanismus



A. Pyrolyse (Gasphase)



RICE, HERZFELD: Radikale als Intermediate



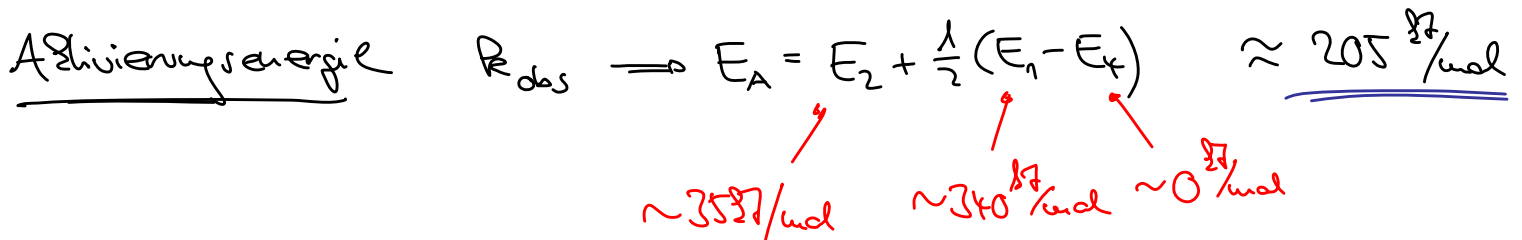
Q.S.: $[\cdot\text{CH}_3] \approx 0, [\text{H}_3\text{C}\text{CO}\cdot] \approx 0$

Ausatz: $[\cdot\text{CH}_3] + [\text{H}_3\text{C}\text{CO}\cdot] \approx 0$

$$= R_1 \cdot [\text{H}_3\text{C}-\text{COH}] - 2R_4 [\cdot\text{CH}_3]^2 \approx 0$$

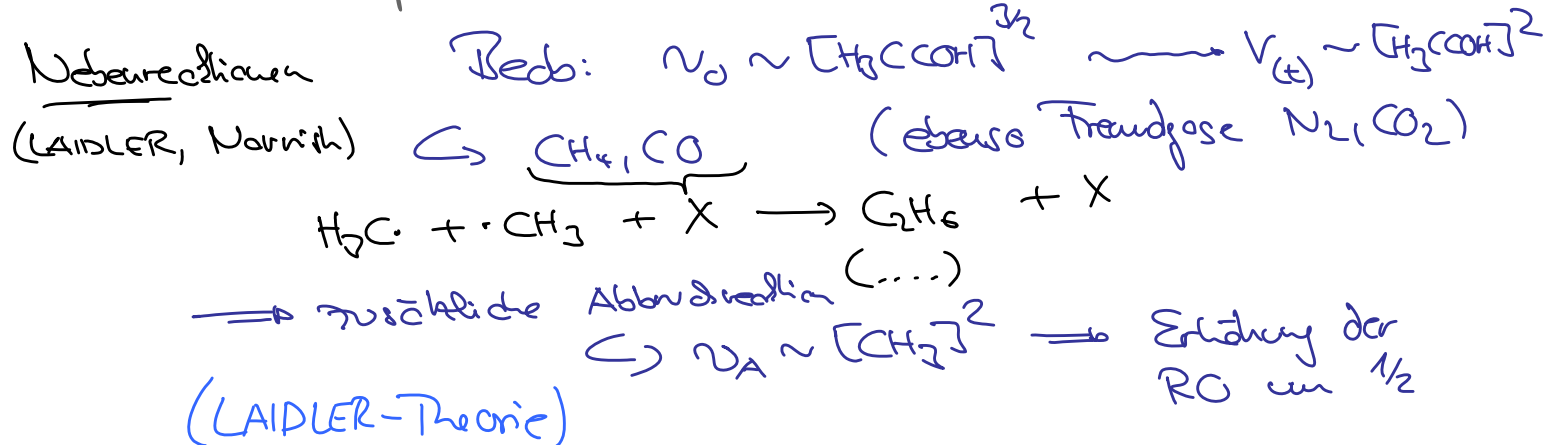
$$\Rightarrow [\cdot\text{CH}_3] = \sqrt{\frac{R_1}{2R_4} \cdot [\text{H}_3\text{C}-\text{COH}]^{1/2}}$$

$$\Rightarrow [\text{CH}_4] = R_2 \cdot \underbrace{\sqrt{\frac{R_1}{2R_4} \cdot [\text{H}_3\text{C}-\text{COH}]^{3/2}}}_{R_{\text{obs}}} \quad \begin{aligned} & - R_4 \text{ inhibiert} \\ & - \neq R_3 \end{aligned}$$

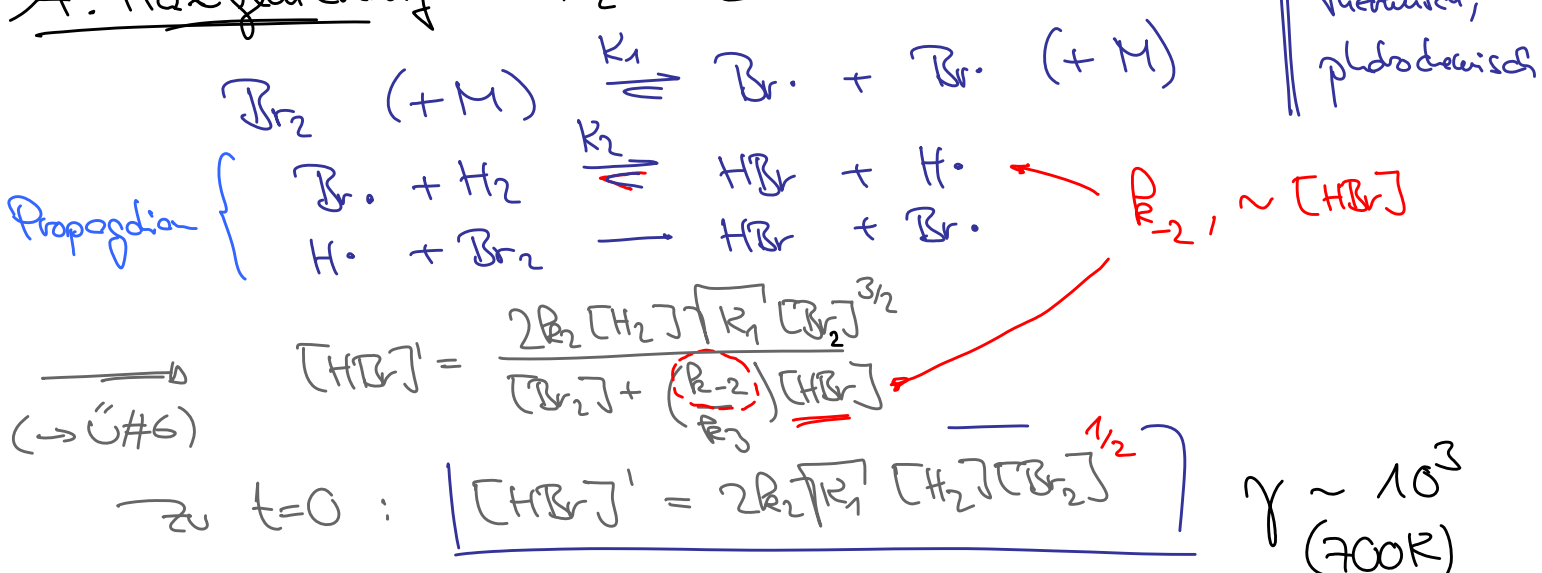


Kettenlänge

$$\gamma = \frac{\nu_{\text{ges}}}{\nu_{\text{ini}}} = R_2 \cdot \sqrt{\frac{1}{2k_1 k_4}} [\text{CH}_3\text{COH}]^{1/2} \sim 10^3 - 10^6$$

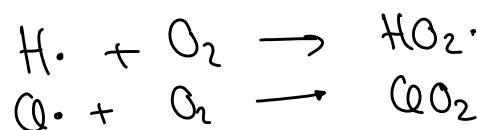


A. Halogenierung



$\boxed{\text{H}_2 + \text{H}_2} - R_{-2} \text{ sehr klein}$

- Einfluß von O_2 :

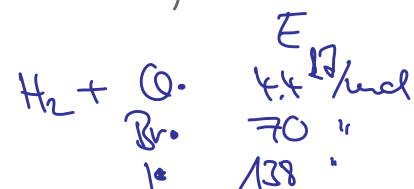


- Abbruch: $\text{Cl} \cdot + X \rightarrow$
(weniger: $\text{Cl} \cdot + \cdot \text{Cl} \cancel{\rightarrow} \text{Cl}_2$)



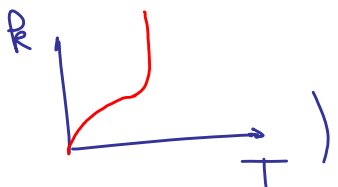
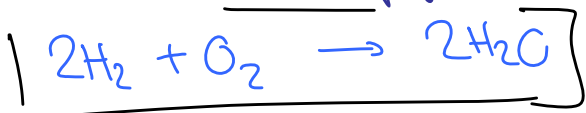
$\boxed{\text{I}_2 + \text{H}_2}$ bimolekular? (bei $T \uparrow$ auch Kettenreaktion)

VERGLEICH: $\gamma_{\text{O}_2} > \gamma_{\text{Br}_2} (> \gamma_{\text{I}_2})$; Initiation:



C. Explosion

(Reaktion mit Verzweigung; $T \uparrow \rightarrow$ thermisch)



KINETIK

$$\begin{aligned} [H\cdot]' &= \nu_s + R_1[H_2][OH] + R_3[H_2][CO] \\ &\quad - R_2[CO_2][H] - R_4[H] \\ &\quad - R_5[H][O_2][M] \end{aligned}$$

$$[\cdot OH]' = +R_2[CO_2][H] + R_3[H_2][CO] - R_1[H_2][OH]$$

$$[\cdot O_2]' = R_2[CO_2][H] - R_3[H_2][CO] / \cdot 2$$

$$\hookrightarrow \underbrace{(H\cdot)' + (OH\cdot)' + 2 \cdot (O_2\cdot)'}_{C_n'} = \nu_s + \underbrace{(2R_2[CO_2] - R_4 - R_5[H][CO_2])}_{\text{Verzweigen}} \underbrace{[H\cdot]}_{\text{Abrechn}} = \nu_s + (f - g) \cdot C_n$$

$$\Rightarrow C_n' = \nu_s + (f - g) \cdot C_n$$

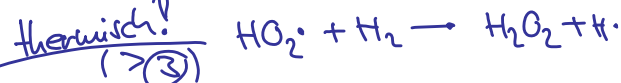
$$\Rightarrow \boxed{C_n(t) = \frac{\nu_s}{g-f} (1 - e^{(f-g)t})} \quad (\text{alg. Anwendung})$$

$$\underline{\text{UND}} : \nu = \tilde{R} \cdot C_n$$

$$C_n \uparrow \quad f > g \quad f = g \quad (\nu = \tilde{R} \frac{\nu_s t}{C_n})$$

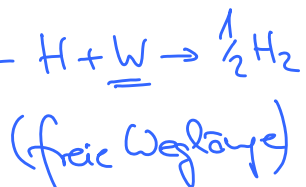
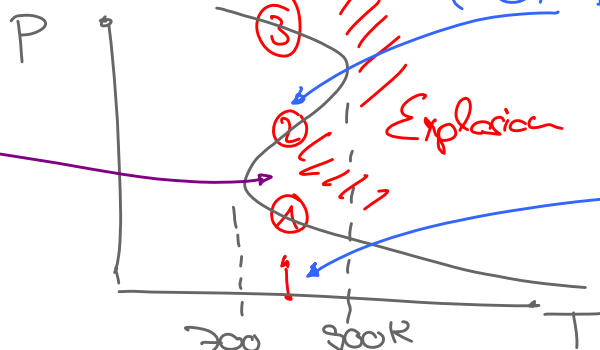
$$\nu = \tilde{R} C_n \approx \tilde{R} \cdot \frac{\nu_s}{f-g} \cdot (e^{(f-g)t})$$

$$\nu = \tilde{R} \cdot C_n = \frac{\tilde{R} \nu_s}{g-f} = \text{const}$$



P, T-Diagramm

Reaktion verzweigt



$H_2 + OH \rightarrow H_2O + H$	(1)
$O_2 + H \rightarrow O + OH$	(2)
$H_2 + O \rightarrow OH + H$	(3)
$H + W \rightarrow \frac{1}{2} H_2 + W$	(4)
(Abbruch, Wandreaktion, linear)	
$H + O_2 + M \rightarrow HO_2 + M$	(5)
(Abbruch, Gasphasenreaktion)	

D. Kettenpolymerisationen

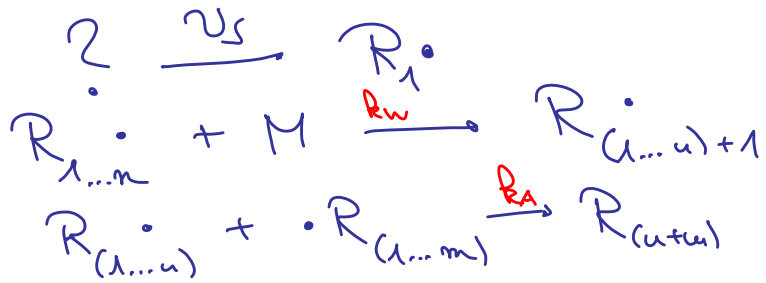
Styrol etc.

$$\sum [R_i J] = 0$$

Start

[Addition]

Ablöse



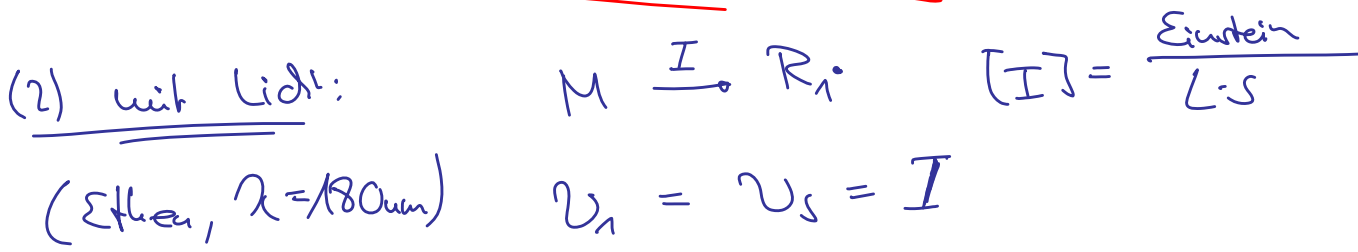
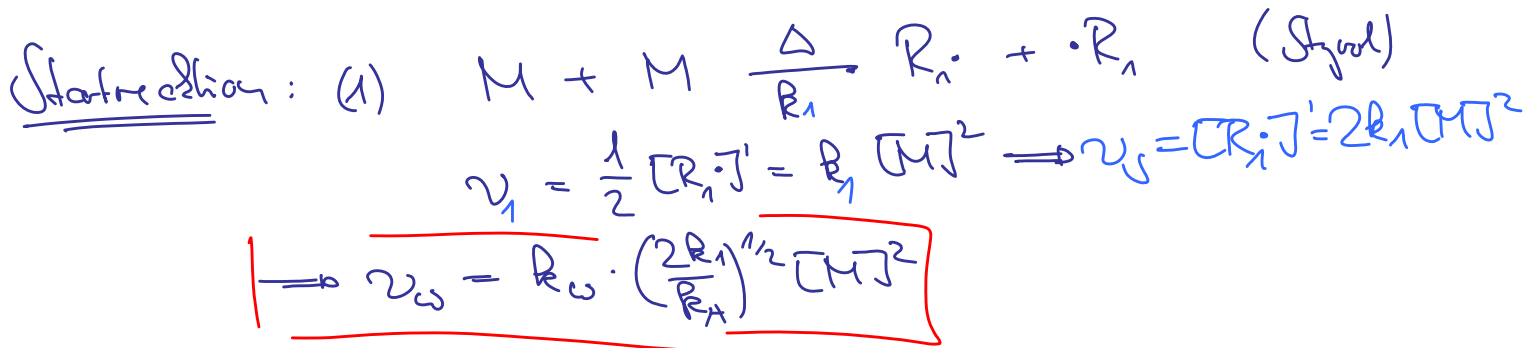
QS.

$$\Rightarrow \nu_s = R_A (\sum [R_i J])^2$$

(für alle $[R_i J]$)

$$|\nu_w = -[M]'|$$

$$= R_w \sum_{i=1}^n [R_i J][M] = R_w \left(\frac{\nu_s}{R_A}\right)^{1/2} [M]$$



$$\Rightarrow \nu_w = R_w \left(\frac{I}{R_A}\right)^{1/2} [M]$$